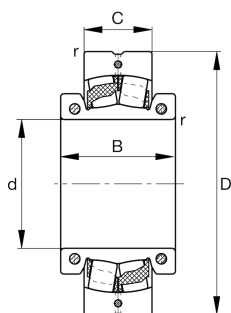


**FAG****222SM100-TVPA**

Радиальный сферический роликоподшипник

Радиальные сферические роликоподшипники 222SM, разъемные радиальные сферические роликоподшипники

Техническая информация



Ваш текущий вариант продукта

Design	E1	Without central rip
Исполнение отверстия	Z	Цилиндрическое
Cage	TVPA	Пластмассовый сепаратор
Радиальный зазор	CN (Group N)	Normal internal clearance
Relubrication	Standard	Стандарт
Splitted	SM	Разъемный подшипник, метрический

Основные размеры и рабочие характеристики

d	100 mm	Диаметр отверстия
D	200 mm	Наружный диаметр
C	53 mm	Ширина наружного кольца
C_r	360.000 N	Динамическая грузоподъемность, радиальная
C_{0r}	460.000 N	Статическая грузоподъемность, радиальная
C_{ur}	40.500 N	Предел усталостной нагрузки, радиальный
n_G	1.590 1/min	Предельная частота вращения
$F_{a \max}$	13.800 N	Макс. осевая нагрузка
m	10,5 kg	Вес

Присоединительные размеры

M_i	35 Nm	Момент затяжки зажимного винта
M_a	14 Nm	Момент затяжки зажимного винта



Габаритные размеры

r_{min}	2,1 mm	Мин. размер монтажной фаски
d_1	100 mm	Внутренний диаметр - внутреннее/тугое кольцо
B	92 mm	Ширина внутреннего кольца

Диапазон температур

T_{min}	-30 °C	Мин. рабочая температура
T_{max}	120 °C	Макс. рабочая температура

Коэффициенты для расчета

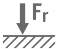
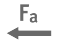





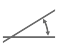

e	0,24	Предельное значение F_a/F_r для применимости различн. значений коэффициентов X и Y
Y_1	2,84	Динамический коэффициент осевой нагрузки
Y_2	4,23	Динамический коэффициент осевой нагрузки
Y_0	2,78	Статический коэффициент осевой нагрузки

Дополнительная информация

22222K	Условное обозначение подшипника
H322	Закрепительная втулка
SNV200	Корпус



Характеристики

-  Радиальная нагрузка
-  Осевая нагрузка в одном направлении
-  Осевая нагрузка в обоих направлениях
-  Смазывание пластичной смазкой
-  Смазывание маслом
-  Без уплотнений
-  Разборный
-  Статические угловые и линейные несоосности
-  Динамические угловые и линейные несоосности